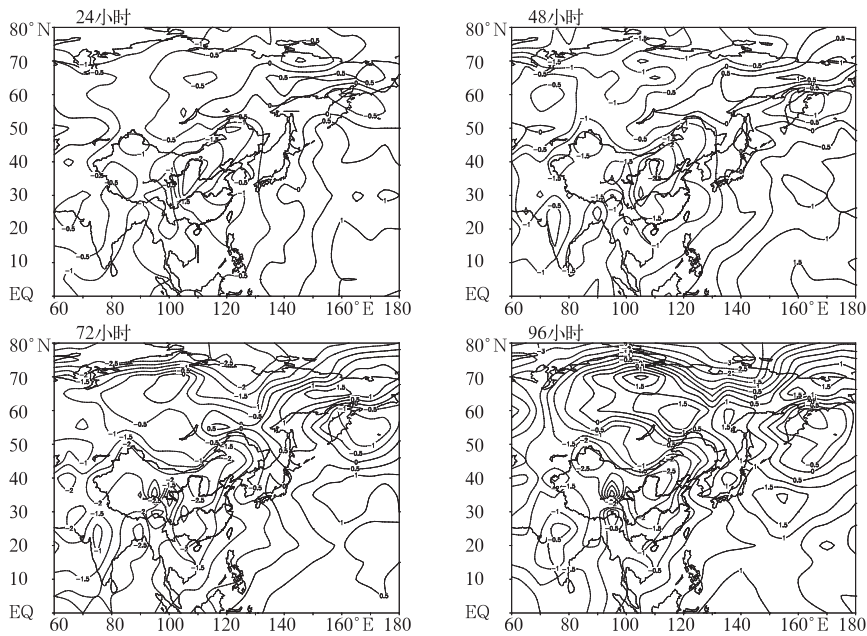


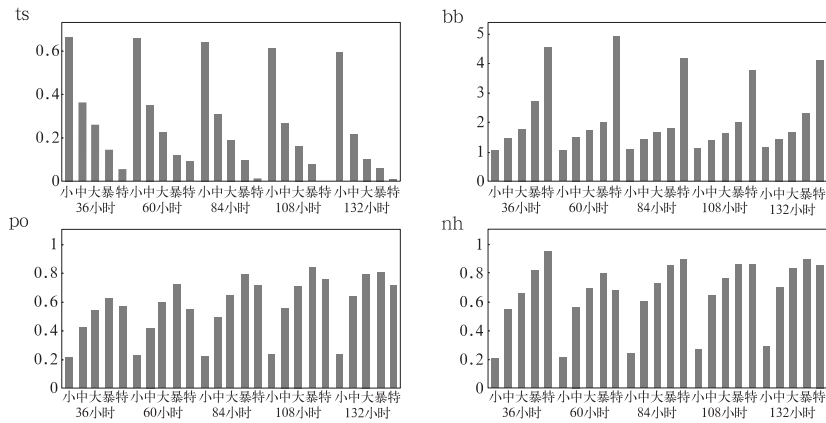
2010 年 6 月 T639 预报与客观分析比较的统计检验参数计算结果

层次	时效	均方根误差				距平相关系数				技巧评分				倾向相关系数			
		北半球	北美	欧洲	东亚	北半球	北美	欧洲	东亚	北半球	北美	欧洲	东亚	北半球	北美	欧洲	东亚
500 hPa 高度	24	10.2	10	9	9.2	0.989	0.983	0.993	0.991	20.3	20.6	18.1	23.9	0.975	0.964	0.984	0.975
	48	18.8	17.1	17.9	16.7	0.964	0.944	0.973	0.967	31.9	31.3	28.6	34.1	0.961	0.942	0.971	0.956
	72	28.8	26.2	29.1	24.5	0.916	0.872	0.927	0.929	41.5	39.9	38.2	42.2	0.93	0.901	0.939	0.924
	96	39.2	33.9	39.1	29.9	0.842	0.794	0.865	0.869	49.8	46.5	46	49.1	0.889	0.863	0.894	0.882
	120	50.4	42.6	52.8	36.4	0.738	0.689	0.768	0.789	57.6	52.4	54.5	56.1	0.835	0.83	0.834	0.826
	144	60.7	49.8	68.2	42.7	0.625	0.577	0.641	0.697	63.9	56.4	62.4	61.3	0.776	0.782	0.769	0.767
	168	69.5	53.9	82.9	49.4	0.511	0.483	0.463	0.585	69.3	60.6	70.2	66.1	0.725	0.758	0.69	0.702
	192	75.4	58.8	88.3	55.2	0.423	0.397	0.396	0.483	72.9	63.6	74	70.8	0.691	0.741	0.675	0.646
	216	81	66.1	93.7	60.3	0.343	0.255	0.323	0.408	75.9	67.5	76.4	73.3	0.656	0.676	0.648	0.597
	240	84.7	70.4	97.8	62.9	0.285	0.162	0.234	0.359	78	70.7	77.8	74.7	0.635	0.631	0.617	0.574
500 hPa 温度	24	0.8	0.8	0.8	0.8	0.967	0.949	0.965	0.969	42.7	44.5	42.2	46.2	0.95	0.939	0.954	0.938
	48	1.2	1.2	1.2	1.1	0.919	0.884	0.909	0.934	58.9	58.2	58.2	58.7	0.93	0.915	0.93	0.928
	72	1.7	1.6	1.6	1.4	0.851	0.795	0.837	0.884	67.6	65.8	67.5	65.1	0.891	0.865	0.896	0.887
	96	2.1	1.9	2.1	1.7	0.77	0.71	0.739	0.829	73.2	69.9	73.2	69.5	0.843	0.82	0.834	0.848
	120	2.5	2.3	2.6	2	0.67	0.603	0.595	0.752	77.8	74.2	79	73.1	0.792	0.792	0.752	0.8
	144	2.9	2.6	3	2.4	0.554	0.484	0.481	0.65	81.6	77.8	82.3	76.8	0.736	0.756	0.712	0.738
	168	3.2	2.8	3.4	2.7	0.455	0.404	0.358	0.568	84.3	80	85.9	78.7	0.694	0.729	0.661	0.691
	192	3.4	3	3.6	2.8	0.387	0.345	0.292	0.512	85.8	80.9	86.7	80.5	0.661	0.706	0.625	0.662
	216	3.5	3.2	3.7	3	0.333	0.255	0.248	0.437	86.8	82.2	88	82.2	0.639	0.672	0.595	0.607
	240	3.7	3.4	3.8	3	0.29	0.197	0.2	0.41	87.7	84.3	88.8	82.4	0.625	0.643	0.579	0.601
850 hPa 高度	24	8.9	8.3	7.2	10	0.982	0.966	0.99	0.967	25.9	28.9	24.6	32.2	0.963	0.96	0.977	0.933
	48	14.9	14.1	12.3	14.9	0.952	0.905	0.966	0.924	37.2	39.2	34.9	41.6	0.953	0.933	0.97	0.916
	72	21.3	20.8	19.1	19.9	0.898	0.8	0.912	0.865	46.2	48.3	44.8	48.4	0.924	0.877	0.938	0.876
	96	28	25.2	26.2	22.2	0.814	0.7	0.842	0.785	54.2	55.7	52.5	53.5	0.877	0.805	0.888	0.822
	120	35.1	30.3	35.3	25.9	0.704	0.594	0.742	0.687	61.4	61.4	60.6	58.7	0.821	0.767	0.829	0.754
	144	41.3	34.4	43.9	29.3	0.591	0.493	0.615	0.601	67.8	66.5	70.7	63.2	0.764	0.715	0.766	0.704
	168	46.1	37.2	51.7	31.6	0.481	0.396	0.422	0.543	72.6	70.1	80	65.9	0.718	0.675	0.686	0.667
	192	49.5	40.5	52.4	33.8	0.391	0.281	0.379	0.48	75.8	73.1	82.6	67.3	0.687	0.621	0.672	0.639
	216	53.4	44.1	55.4	37.8	0.304	0.133	0.284	0.424	78.7	76.1	84.7	70.2	0.647	0.531	0.645	0.613
	240	56.4	46.1	58.9	40.2	0.245	0.076	0.186	0.365	80.6	78.9	87	72.1	0.622	0.557	0.626	0.578
850 hPa 温度	24	1	1.1	1	1.1	0.97	0.937	0.973	0.976	39.5	42	36	38.7	0.926	0.917	0.936	0.923
	48	1.6	1.5	1.5	1.6	0.932	0.872	0.939	0.951	53.5	53.6	47.9	49.3	0.908	0.903	0.926	0.911
	72	2	1.9	1.9	2	0.888	0.797	0.898	0.921	61.2	60.4	55	56.2	0.873	0.867	0.904	0.873
	96	2.5	2.3	2.3	2.4	0.838	0.709	0.847	0.892	66.3	65.4	59.8	60.3	0.833	0.818	0.87	0.834
	120	2.9	2.8	2.8	2.8	0.775	0.591	0.772	0.851	70.8	69.5	65.3	64.9	0.788	0.783	0.829	0.794
	144	3.3	3.1	3.4	3.2	0.709	0.496	0.669	0.808	73.9	72	69.7	67.8	0.743	0.744	0.775	0.75
	168	3.7	3.3	3.9	3.6	0.646	0.457	0.572	0.757	76.4	72.7	73.9	70.5	0.7	0.723	0.721	0.695
	192	3.9	3.5	4.3	3.8	0.596	0.383	0.505	0.72	78.2	75.1	75.4	72.5	0.662	0.688	0.689	0.65
	216	4.2	3.9	4.5	4.1	0.544	0.299	0.463	0.681	79.8	77.3	76.6	74.3	0.624	0.642	0.658	0.595
	240	4.4	4.2	4.7	4.2	0.509	0.201	0.416	0.662	80.8	79.2	77.5	75	0.599	0.573	0.625	0.588
850 hPa 风	24	3	3.2	2.8	3.3	1	0.969	0.992	0.972	49.7	53	49.4	57.1	0.916	0.898	0.925	0.856
	48	4.3	4.4	4	4.3	0.999	0.942	0.983	0.953	66.2	66.6	64.1	69.1	0.882	0.853	0.899	0.831
	72	5.3	5.5	5	5.1	0.999	0.909	0.972	0.935	74.7	75	72.5	76	0.834	0.786	0.858	0.786
	96	6.3	6.3	5.9	5.6	0.998	0.879	0.963	0.919	80.4	79.8	77.9	79.9	0.784	0.725	0.803	0.749
	120	7.2	7	6.8	6.3	0.998	0.852	0.95	0.899	84.7	83.8	82.5	84.1	0.736	0.688	0.748	0.697
	144	7.9	7.6	8	6.9	0.997	0.827	0.933	0.879	87.9	86.8	88.1	86.8	0.684	0.648	0.69	0.657
	168	8.5	8	8.9	7.3	0.996	0.812	0.917	0.868	90.1	87.8	90.9	88.6	0.648	0.621	0.645	0.631
	192	8.9	8.4	9.1	7.5	0.996	0.793	0.914	0.859	91.6	89.6	92.8	89.1	0.63	0.598	0.64	0.623
	216	9.2	8.7	9.2	7.8	0.996	0.779	0.91	0.847	92.5	91	93.6	90.6	0.609	0.565	0.626	0.612
	240	9.4	9.2	9.5	8	0.996	0.758	0.904	0.838	93.4	92.3	93.9	91.8	0.591	0.547	0.606	0.587

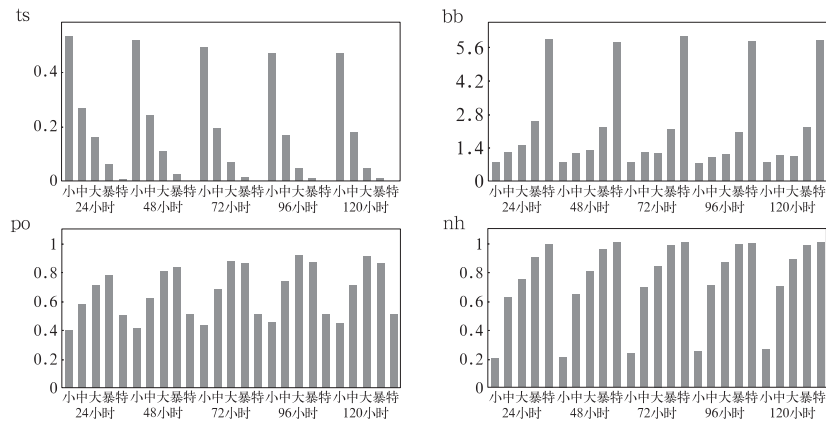
2010年6月T639海平面气压场预报相对误差




2010年6月T639降水预报全国统计检验结果



2010年6月MOS降水预报全国统计检验结果





2010 年 6 月 500 hPa 环流指数、环流特征量资料

国家气候中心气候系统诊断预测室

		环 流 指 数							西太平洋副热带高压					东亚槽		极 涡										
		月 平 均	候 平 均						面 积 指 数	强 度 指 数	西 伸 脊 点	脊 线 位 置	北 界 位 置	平 均 位 置	平 均 强 度	中 心 位 置		强 度								
			1	2	3	4	5	6								经 度	纬 度									
亚欧地区	Iz	1.23	1.21	1.50	1.44	1.20	0.99	1.02	33	89	90	18	25	999	999	75°E	70°N	39								
	Im	0.37	0.37	0.34	0.38	0.33	0.48	0.31																		
亚洲地区	Iz	1.31	1.25	1.54	1.40	1.36	1.22	1.09																		
	Im	0.40	0.37	0.37	0.44	0.30	0.48	0.43																		

2010 年 6 月亚洲地区逐日 500 hPa 西风环流指数
及副热带高压脊线(120°E、130°E、140°E)位置

中央气象台中期预报科

日	1	2	3	4	5	6	7	8	9	10	11	12	13	14	15	16	17	18	19	20	21	22	23	24	25	26	27	28	29	30
指数	187	226	259	267	254	262	312	312	301	271	252	257	292	276	271	275	268	269	256	240	214	217	220	263	294	284	205	185	195	184
120°E	11.25	11.25	11.25	11.25	11.25	13.75	13.75	21.25	16.25	16.25	16.25	13.75	16.25	16.25	18.75	18.75	18.75	21.25	21.25	23.75	21.25	18.75	18.75	13.75	18.75	23.75	23.75	26.25	23.75	21.25
130°E	11.25	11.25	13.25	13.75	16.25	16.25	16.25	16.25	16.25	16.25	16.25	16.25	16.25	18.75	18.75	21.25	21.25	23.75	23.75	23.75	23.75	23.75	23.75	18.75	43.75	26.25	26.25	23.75	23.75	21.25
140°E	13.75	16.25	18.75	18.75	16.25	16.25	18.75	18.75	18.75	18.75	16.25	18.75	18.75	21.25	23.75	23.75	26.25	26.25	26.25	26.25	26.25	26.25	26.25	28.75	38.75	26.25	26.25	28.75	23.75	26.25



台风对我国风电开发的影响与对策

张秀芝等编著

该书较为全面地阐述了影响中国大陆沿岸和近海地区的热带气旋活动的气候特征以及与风电开发密切相关的一些工程设计参数,详细地介绍了台风对风电开发的影响及台风作用下风电场受损机理,比较系统地提出了沿海风电场应对台风的技术对策和应急管理措施。

16 开 定价:36.00 元

现代农业气象业务(现代气象业务丛书)

王建林 主编

该书从现代农业气象业务范畴、发展历程、业务现状、存在问题和未来发展前景人手,简单分析了现代农业气象业务的主要理论和技术方法;介绍了我国农业气象观测站网的布局、观测内容和资料传输;概述了我国农业气象情报业务、农业气象预报业务、农业气象灾害监测预报业务的内容、业务技术和业务系统以及农业气候资源与农业种植布局的关系、农业气候区划的原则和技术方法、农业种植结构调整和产业核心区选择的气候依据等,探讨了气候变化对农业的影响及其业务内容和技术方法,简单总结了我国设施农业、特色农业、畜牧业、林业和水产养殖业等新兴农业气象业务内容和技术方法;展望了未来 5 年至 10 年我国农业气象业务的重点内容。

16 开 定价:56.00 元

现代气象服务(现代气象业务丛书)

许小峰主编

该书介绍了我国气象服务的发展历程、主要特色、服务理念以及服务的基本方法、内容和手段,分析了现代气象服务的内涵以及发展趋势,系统阐述了现代气象服务体系的构成。重点介绍了决策气象服务、公众气象服务、专业气象服务和专项气象服务的发展现状、服务产品和业务流程,以及面向气象灾害防御和应对气候变化的气象服务工作,并梳理了气象服务信息发布平台的发展现状。另外,还介绍了国内外气象服务效益评估工作现状、评估方法,以及气象灾害风险评估内涵和思路,为开展气象服务效益评估工作提供指导和参考。

16 开 定价:45.00 元

现代数值预报业务(现代气象业务丛书)

矫梅燕主编

该书介绍了我国业务数值预报的技术能力、业务体系和预报水平,内容包括数值预报技术的发展历史与所面临的重大科学技术问题,资料同化、数值模式、集合预报的主要理论和技术方法,天气与气候数值预报、集体概率预报、专业(专项)数值系统的业务发展水平与系统,数值预报的检验评价、产品解释应用方法,以及高性能计算机等数值预报支撑技术的水平与业务状况。

16 开 定价:38.00 元